

# 프로시저 호출을 가진 루프에서 병렬성 추출

장유숙<sup>\*</sup> · 박두순<sup>\*\*</sup>

## 요 약

프로그램 수행시간의 대부분이 루프 구조에서 소비되고 있기 때문에 루프 구조를 가진 순차 프로그램에서 병렬성을 추출하는 연구들이 많이 행해지고 있고 그 연구들은 하나의 프로시저 내 루프 구조의 변환에 치중되고 있다. 그러나 대부분의 프로그램들은 프로시저 간 잠재된 병렬성을 가지고 있다. 본 논문에서는 프로시저 호출을 가진 루프에서 병렬성 추출 방식을 제안한다. 프로시저 호출을 포함하는 루프의 병렬화는 대부분 자료종속거리가 uniform 형태의 코드에서만 집중되었다. 본 논문에서는 자료종속거리가uniform 코드, nonuniform 코드 그리고 복합된(complex) 코드를 가진 프로그램에서 적용 가능한 알고리즘을 제시하였으며, 제안된 알고리즘과 loop extraction, loop embedding 그리고 procedure cloning변환 방법을 CRAY-T3E로 성능 평가하였다. 성능평가 결과는 제안된 알고리즘이 효율적이라는 것을 보여준다.

## The Parallelism Extraction in Loops with Procedure Calls

Yu-Sug Chang<sup>\*</sup> and Doo-Soon Park<sup>\*\*</sup>

## ABSTRACT

Since most program execution time is spent in the loop structure, extracting parallelism from sequential loop programs have been focused. But, most programs have implicit parallelism of interprocedure.

This paper presents a generalized parallelism extraction in loops with procedure calls. Most parallelization of loops with procedure calls just focus on the uniform code which data dependency distance is constant. We presents algorithms which can be applied with uniform code, nonuniform code, and complex code. The proposed algorithm, loop extraction, loop embedding and procedure cloning transformation methods evaluate using CRAY-T3E. The result of performance evaluation is that proposed algorithm is an effect.

## 1. 서 론

현대 슈퍼 컴퓨터 구조적 개선의 주요 목적은 병렬화를 증가하는 것이다. 병렬 하드웨어의 능력은 그것을 탐지하기 위한 소프트웨어의 능력 없이는 불가능하다. 이러한 요구에 주요한 과제는 병렬화를 탐지하는 기술을 컴파일러에서 만들고 병렬화를 강화하기 위한 변환을 수행하고 코드에서 종속성을 최소화하는 것이다.

프로그램 수행시간의 대부분이 루프 구조에서 소비되고 있기 때문에 순차 프로그램을 병렬 프로그램

으로 변환하는 연구들이 루프 구조의 변환에 치중되고 있다. 그러나 루프에 프로시저 호출을 포함하는 경우, 많은 잠재적인 병렬성을 가지고 있으며 컴파일러는 그것으로부터 최대의 병렬성을 추출하기를 원할 것이다.

프로시저 호출을 포함하는 루프의 병렬화에서 가장 중요한 면은 프로시저 분석이다. 분석 없이 함수나 서브루틴 호출을 포함하는 루프는 병렬화 할 수 없다. 프로시저 분석이 끝나면 그 정보를 가지고 프로시저 변환을 해야한다. 프로시저 변환에서는 최대의 병렬성을 추출하는 것이 목적이다. 프로시저 호출을 포함하는 루프의 병렬화는 대부분 자료종속거리가 uniform 형태의 코드에서만 집중되었다. 그러나 대

<sup>\*</sup> 정회원, 순천향대학교 정보기술공학부 박사과정

<sup>\*\*</sup> 정회원, 순천향대학교 정보기술공학부 교수

부분의 프로그램들은 자료종속거리가 nonuniform이다. 자료 종속 거리가 nonuniform인 경우는 컴파일 시간에 병렬성을 추출하는 것은 어렵다. 왜냐하면, 자료 종속 거리가 nonuniform인 경우에는 자료 종속 거리를 컴파일 시간에 알기 어렵기 때문이다. 이러한 이유로 자료 종속 거리가 nonuniform인 경우에 컴파일 시간이 아닌 실행 시간에 병렬성을 추출하고 있다. 실행 시간에 병렬성을 추출해서 병렬로 실행하는 것은 실행 시간이 길어진다.

본 논문에서는 프로시저 호출을 가진 루프에서 자료종속거리가 uniform 코드, nonuniform 코드 그리고 복합된(complex) 코드를 가진 프로그램에서 적용 가능한 병렬성 추출 알고리즘을 제시한다. 본 논문에서 제시한 방법은 프로시저 내 변환 방법 중 가장 효과적인 방법인 자료 종속성 제거 방법[16]을 확장하여 프로시저 간 변환 방법에 적용하는 방법이다. 이를 위하여 프로시저간 변환 방법인 inlining 확장 변환 방식을 적용하고, 확장된 자료 종속성 제거 방법을 적용하는 방법이다. 성능평가는 제안된 알고리즘과 프로시저간 변환 방법 중 성능이 우수한 방법으로 알려진 loop extraction, loop embedding 그리고 procedure cloning 변환 방법을 CRAY-T3E로 비교하였다. 그리고 제안된 알고리즘이 효율적인 방법이라는 것을 보여준다.

본 논문의 구성은 2장에서 프로시저 분석과 변환을 서술하였고 3장에서는 프로시저 호출을 가진 루프에서 자료종속성 제거 방법을 이용한 병렬성 추출 알고리즘을 제시하였다. 4장에서는 성능분석을 하고 5장에서 결론을 서술한다.

## 2. 프로시저 분석과 변환

프로시저 분석은 프로시저 내 분석과 프로시저 간 분석으로 구분하고 프로시저 변환도 프로시저 내 변환과 프로시저 간 변환으로 구분한다[9,14].

### 2.1 프로시저 내 분석

프로시저 내 분석이란 한 프로시저 내에서의 자료 흐름이나 제어 흐름에 관한 정보를 분석하는 것을 말한다. 프로시저 내 분석 방법은 프로그램 문장 사이의 순행순서, 변수 값 도달 정의 탐색, 상수 전달, 유도변수, 복사 전파, 공통 부분 식, 불필요한 코드

제거, 코드 이동, 식의 연산 순서 변경, 중복된 로드와 저장 명령문 제거, 불필요한 jump 제거, 레지스터 할당 등이 있다[10,15].

### 2.2 프로시저 간 분석

프로시저 간 분석은 프로시저 사이의 호출/피 호출 관계에 나타나는 자료의 흐름에 관한 분석을 말한다. 프로시저 간 분석을 하기 위해서는 먼저 각 프로시저 사이의 호출/피 호출 관계를 나타내는 호출 그래프를 작성하고 이를 이용하여 프로시저간 자료의 흐름을 분석하게 된다. 각 프로시저 사이에 자료가 전달되는 경로는 형식 인자와 실 인자사이의 바인딩과 전역 변수에 의해 이루어지므로 인자들 사이의 자료 흐름을 나타낼 수 있는 바인딩 그래프를 사용하여 바인딩과 전역 변수에 의한 자료의 흐름을 분석한다. 그리고 이명 관계, 상수 전달, 참조 정보 등을 분석한다[1,2,4,5].

### 2.3 프로시저 내 변환

프로시저 내에서 사용되는 변환 방법으로 루프 분리(Loop distribution), 루프 융합(Loop Fusion), 루프 반전(Loop Reversal), 루프 왜곡(Loop Skewing), 루프 교환(Loop Interchange), 루프 타일링(Loop Tiling) 등의 변환 방법이 있다[8,11,13].

본 논문에서는 프로시저 내 변환 방법 중 자료종속성 제거 방법을 이용하므로 자료종속성 방법에 대해서 간단하게 서술한다.

병렬성을 추출하기 위한 자료 종속성 제거 방법에서 종속성 행렬 DMLCS(Dependence Matrix with the number of nested Loop, the number of computation, and the number of Statement)는 자료 종속성을 계산하기 위해 자료 종속성을 표현하는 정방 행렬이다. 자료 종속성 제거 방법은 중첩 루프를 갖는 그림 2.1의 예를 가지고 서술한다[16].

$\text{DO } I = 1, N_I$ $\text{DO } J = 1, N_J$ $S_1: \quad A(I-2, J-1) = B(4*I, 3*J) + C(4*I, 5*J-2)$ $S_2: \quad B(5*I, 4*J) = A(I-4, J-4) + B(I-4, 3*J) + C(3*I-1, 4*J-2)$ $S_3: \quad C(7*5, 6*J) = A(I-5, J-3) + B(I-2, J-3) + C(I-1, J-2)$ $\text{ENDDO}$ $\text{ENDDO}$
--------------------------------------------------------------------------------------------------------------------------------------------------------------------------------------------------------------------------------------------------------------------------------------------------

그림 2.1 두 개의 중첩 루프를 갖는 예

그림 2.1은 2개의 중첩된 루프를 가졌고 루프 안에 있는 문장의 개수는 3이다. 이에 대한 종속성 행렬의 초기 상태는 DMLCS(2,1,3)이다. 여기서 변수  $B$ 의 경우 문장  $S_2$ 에서 문장  $S_3$ 으로 가는 흐름 종속이 존재한다. 이 경우에 자료 종속성은  $5*I'$ 와  $I''-2$ 의 값이 같아지는 정수 해  $I', I''$ 의 값을 구해야 하고  $4*J'$ 와  $J''-3$ 의 값이 같아지는 정수 해  $J', J''$ 의 값을 구해야 한다. 이에 대한 초기 해는 DMLCS(2,1,3)행렬의 2행 3열에 나타내어진다.

그림 2.1의 DMLCS(2,1,3)은 그림 2.2이다.

	$S_1$	$S_2$	$S_3$
$S_1$	0	$@((1@3,3@1),(1@1,4@1))$	$@((1@1,4@1),(1@1,3@1))$
$S_2$	$((0@4,0@5),(0@3,0@4))$	$((1@1,9@5),(0@3,0@4))$	$((1@1,7@5),(1@1,7@4))$
$S_3$	$((0@4,0@7),(3@5,4@6))$	$((2@3,5@7),(1@4,2@6))$	$((1@1,8@7),(1@1,8@6))$

그림 2.2 자료 종속성 행렬 DMLCS(2,1,3)

그림 2.2에서 문장  $S_2$ 에서 문장  $S_3$ 으로 자료 종속성이 존재하고 초기 해는  $((1@1,7@5),(1@1,7@4))$ 이며  $((1@1,7@5),(1@1,7@4))$ 가 구해지는 과정과 의미는 다음과 같다.

먼저 문장  $S_2$ 에서 문장  $S_3$ 으로 종속 관계를 나타내는 2행 3열의 순서쌍 원소 즉  $((a_{23}\oplus u_{23}, b_{23}\oplus v_{23}), (c_{23}\oplus w_{23}, d_{23}\oplus x_{23}))$ 은 문장  $S_2$ 의 변수  $B(5*I', 4*J)$ 와 문장  $S_3$ 의 변수  $B(I-2, J-3)$ 의 첨자 값이 모두 같은 경우를 표현하는 것으로 diophantine방정식을 이용하여 구할 수 있다. 즉 이에 대한 diophantine방정식은

$$\begin{aligned} 5 * I' &= I'' - 2 \\ 4 * J' &= J'' - 3 \end{aligned}$$

을 만족하는 초기 정수 해  $I', I'', J', J''$ 을 구하는 것으로 diophantine방정식을 이용하면  $I', I''$ 은 각각 1과 7이 되며  $J', J''$ 도 1과 7이 된다. 또한  $I, I'', J', J''$ 의 계수  $v_{23}, u_{23}, x_{23}, w_{23}$ 은 각각 1, 5, 1, 4가 됨을 확인할 수 있다. 따라서 초기 정수 해  $I', I'', J', J''$ 는 각각  $a_{23}, b_{23}, c_{23}, d_{23}$ 에 대응하므로 2행 3열의 순서쌍 원소  $((a_{23}\oplus u_{23}, b_{23}\oplus v_{23}), (c_{23}\oplus w_{23}, d_{23}\oplus x_{23}))$ 는  $((1@1,7@5), (1@1,7@4))$ 으로 표현된다. 또한 위와 같이 구해진 순서쌍의 집합이 갖는 의미는 다음과 같다. 즉,  $((1@1,7@5), (1@1,7@4)) = ((a_{23}\oplus u_{23}, b_{23}\oplus v_{23}), (c_{23}\oplus w_{23}, d_{23}\oplus x_{23}))$ 가 되므로 종속 관계에 있는 문장  $S_2$ 와 문장

$S_3$ 은  $I'=a_{23}=1, J'=c_{23}=1$ 인 경우 문장  $S_2$ 는  $B(5,4) = A(-3,-3)+B(-3,3)+C(2,2)$ 가 되고  $I''=b_{23}=7, J''=d_{23}=7$ 인 경우 문장  $S_3$ 은  $C(49,49) = A(2,4)+B(5,4)+C(6,5)$ 가 되어 변수  $B(5,4)$ 에 의하여 종속 관계가 존재함을 알 수 있고, 이어서 종속 관계에 있는 문장  $S_2$ 의  $I'$ 와  $J'$ 의 증가치가 각각 1이므로  $I' = a_{23} + u_{23} = 1 + 1 = 2, J' = c_{23} + w_{23} = 1 + 1 = 2$ 인 경우 문장  $S_2$ 는  $B(10,8) = A(-2,-2)+B(-2,6)+C(5,6)$ 가 되고, 문장  $S_3$ 의  $I''$ 과  $J''$ 의 증가치는 각각 5와 4이므로  $I'' = b_{23} + v_{23} = 7+5 = 12, J'' = d_{23} + x_{23} = 7+4 = 11$ 인 경우 문장  $S_3$ 은  $C(84,66) = A(7,8)+B(10,8)+C(11,9)$ 가 되어 변수  $B(10,8)$ 에 의하여 종속관계가 존재함을 알 수 있다. 고로 증가 치에 따라서 첨자 변수의 최종 치까지 종속관계가 형성됨을 알 수 있다. 그러므로  $((1@1,7@5), (1@1,7@4))$ 는 문장  $S_2$ 에서 문장  $S_3$ 으로 종속 관계를 힙축시켜 표시하고 있음을 알 수 있다.

이러한 행렬의 계산을 이용하여 자료종속성을 계산하고, 프로그램을 수행하는 기법에 의해 자료종속성을 제거하는 방법이다.

## 2.4 프로시저 간 변환

프로시저 사이에 적용되는 변환 방법으로 inlining 확장 변환 방법은 피 호출 프로시저의 문장들을 프로시저 정보에 의하여 프로시저 호출 위치에 모두 대체한다. Loop extraction 변환 방법은 루프에서 호출을 가진 프로시저에서 피 호출 프로시저의 루프를 프로시저의 호출 위치 외부로 이동하는 방법이다. Loop embedding은 프로시저 호출을 포함하는 루프 헤더를 피 호출 프로시저로 이동하는 변환 방법이다. Procedure cloning은 프로시저가 여러 차례 호출될 때 프로시저를 최적화 한 프로시저로 복사하여 많은 프로시저가 호출하게 하는 변환 방법이다[3,6,7,12].

## 3. 프로시저 호출을 가진 루프에서 자료 종속성 제거 방법을 이용한 병렬성 추출

프로시저 호출을 가진 루프에서 병렬성 추출을 하기 위하여 자료 종속성 제거 방법을 확장하였다. 자료 종속성 제거 방법은 프로시저 내 변환 방법이지만 이를 프로시저 호출을 가진 루프에 사용하기 위하여, 프로시저 간 변환 방법 중에서 inlining 방법을 사용

하였다. inlining 방법을 자료종속성 제거 방법을 적용하기 전과 적용한 후에 따라 결과가 달라짐으로 어느 방법이 효율적인지 성능 평가를 실시하였다. Inlining 후 최적화 방법은 호출 프로시저의 호출 위치들을 꾀 호출 프로시저의 코드로 대체하는 inlining을 수행한 후 inline된 코드를 프로시저 내 변환 방법을 사용하여 최적화하는 방법이다. 최적화 후 inlining 방법은 각 프로시저 단위로 프로시저 내 변환 방법으로 최적화한 후 inlining을 제외한 프로시저 간 변환 방법으로 최적화한다.

본 논문에서는 inlining 후 최적화하는 방법이 효율적이므로 inlining 후 자료종속성 제거 방법을 적용하는 알고리즘을 제시한다.

#### <알고리즘 1>

1. 호출 멀티그래프 작성
2. 확장된 호출 그래프(augmented call graph)로 확장
3. 프로시저간 정보 계산
4. 종속성 분석
5. IF (하나의 프로시저가 한번 이상 호출되고 호출 매개 변수 값이 변하지 않으면)  
THEN goto <알고리즘 3>  
ELSE goto <알고리즘 4>
6. 중간 코드에 자료 종속성 제거 알고리즘 <알고리즘 2> 대입 병렬 코드 생성

#### <알고리즘 2>

1. 초기화 과정  
 $S$  = 문장 수  
동적 기억장소 배열 DMA, DMB, DMC 선언  
 $sw = 0$
2. diophantine 방식 계산 위해 GCD 계산 함수 호출하여 pass=1인  $S \times S$  크기의 2차원 종속 행렬 DMB 구함  
IF (인덱스 변수가 같으면) THEN rename
3. 중첩 루프의 인덱스 변수를  $i, j$ 라고 최대치  $N_1, N_2$ 인 경우  
Forall DMB 행렬의  $i, j$ 에 대하여  
IF  $((a_{ij} \otimes u_{ij}) > N_1 \text{ || } (c_{ij} \otimes w_{ij}) > N_2)$   
THEN 그 원소는 0으로 치환  
IF  $sw == 0$  THEN DMA = DMB,  $sw = 1$
4. DMB 행렬 이용하여 0이 아닌 모든 원소에 대해

```
Forall i, j에 대하여 IF ( $u_{ij} \& w_{ij} == 1$ )
THEN uniform
ELSE IF ( $u_{ij} \& w_{ij} != 1$ ) THEN nonuniform
ELSE complex 형태의 doall  $S_i$  문장으로 변환
5. IF 똑같은 원소가 존재한다면 THEN 하나만
남겨 놓고 제거
6. IF 모든 원소 = 0 THEN go to 8
ELSE pass 증가하기 위해 행렬의 곱 이용하여
 $S \times S^{pass+1}$  크기의 종속행렬
DMC = DMA * DMB 계산
pass++
DMB = DMC
free DMC
ENDIF
7. Go to 3
8. 변형된 문장을 제외한 모든 문장에 대해 doall
 $S_i$  문장으로 변환
```

#### <알고리즘 3>

```
/* 프로시저 내 변환 먼저 적용하고 inlining을 제
외한 프로시저 간 변환 적용 후 inlining 적용
*/
{
    1. repeat(각 프로시저가 최적화될 때까지)
        { /* 프로시저 내 변환 적용 */ }
    2. repeat(프로시저 간 최적화될 때까지)
        { /* inlining을 제외한 프로시저 간 변환 적
용 */ }
    3. reverse topological order로 inlining 적용
}
```

#### <알고리즘 4>

```
/* inlining 후 프로시저 내 변환 적용 */
{
    1. reverse topological order로 inlining 적용
    2. repeat(각 프로시저가 최적화될 때까지)
        { /* 프로시저 내 변환 적용 */ }
}
```

## 4. 성능 평가

자료 종속성 거리가 nonuniform, complex 형태의 코드에서는 현재 프로시저 호출을 가진 루프에서 사

용되는 loop extraction변환 방법, loop embedding변환 방법 그리고 procedure cloning변환 방법과 같은 프로시저 간 변환 방법을 적용해서 병렬성을 추출하기는 어렵기 때문에 본 논문에서는 자료종속성 거리가 uniform인 그림 4.1 예제 코드를 사용하여 자료 종속성 제거 방법을 이용한 프로시저 변환 알고리즘과 loop extraction변환 방법, loop embedding변환 방법 그리고 procedure cloning변환 방법과 비교 분석 한다.

#### SUBROUTINE P

```
real a(n, n)
integer i
do i = 1, 10
    call Q(a, i)
    call Q(a, i+1)
enddo
```

#### SUBROUTIN Q(f, i)

```
real f(n, n)
integer i, j
do j = 1, 100
    f(i, j) = f(i,j) + ...
enddo
```

그림 4.1 자료종속성거리 : Uniform

#### 4.1 프로시저를 포함한 병렬코드의 성능평가

프로시저를 포함한 코드의 최적화 알고리즘과 loop extraction, loop embedding 그리고 procedure cloning변환 방법의 성능을 평가한다.

##### 4.1.1 프로시저를 포함한 코드의 최적화 알고리즘을 이용한 병렬코드

프로시저를 포함한 코드의 최적화 알고리즘은 자료 종속성 제거 방법을 이용한 프로시저 변환 방법을 적용하여 병렬코드로 변환 후 병렬로 수행한다. 그리고 자료 종속성이 발생하지 않을 때까지 자료 종속성 검사하여 자료 종속성이 발생하면 자료 종속성 계산으로 자료 종속성이 있는 데이터를 찾아 다시 병렬 수행한다. 그림 4.1의 예제 코드를 프로시저를 포함한 코드의 최적화 알고리즘을 적용하여 병렬코드로 변환한 코드는 그림 4.2(a)와 같다. 변환된 병렬 코드를 병렬로 수행하고, 수행된 병렬 코드에서 자료 종

속성이 발생하는 곳에는 잘못된 결과 값을 가지게 되므로 자료 종속성 검사를 하여 자료 종속성이 발생하면 자료 종속성이 발생하는 문장만 다시 병렬 수행한다. 그럼 4.2의 병렬 코드의 자료 종속성은 두 번째 문장의  $f(i+1, j)$ 와 첫 번째 문장의  $f(i, j)$ 에서 발생한다. 자료 종속성이 발생하는 문장을 병렬로 수행한다. 자료 종속성이 더 이상 발생하지 않으므로 그림 4.1 예제코드의 최적화 알고리즘은 병렬 수행을 두 번 수행한다.

#### SUBROUTINE P

```
real a(n, n)
integer i, j
parallel do i = 1, N1
    parallel do j = 1, N2
        f(i, j) = f(i, j) + ...
    end parallel do
end parallel do

parallel do i = 2, N1
    parallel do j = 1, N2
        f(i, j) = f(i, j) + ...
    end parallel do
end parallel do
```

그림 4.2 최적화 알고리즘

#### 4.1.2 Loop extraction변환 방법을 이용한 병렬 코드

프로시저 간 변환 방법인 loop extraction은 루프에서 호출을 가진 프로시저에서 피 호출 프로시저의 루프를 프로시저의 호출 위치 외부로 이동하는 방법이다. 그림 4.1 예제 코드에 loop extraction을 적용한 코드가 그림 4.3(a) 코드이고 병렬화를 위해서 loop fusion변환 방법과 loop interchange변환 방법을 적용한 코드는 그림 4.3(b)과 같다. 그림 4.3(b)코드에서 호출 프로시저  $P$ 는 외부 루프  $j$ 는 병렬로 수행하고 내부 루프  $i$ 는 순차적으로 피 호출 프로시저  $Q$ 들을 호출한다.

#### 4.1.3 Loop embedding변환 방법을 이용한 병렬 코드

프로시저 호출을 포함하는 루프 헤더를 피 호출 프로시저로 이동하는 변환 방법인 loop embedding

<b>SUBROUTINE P</b> real a(n, n) integer i, j  do i = 1, N <sub>1</sub> do j = 1, N <sub>2</sub> call Q(a, i, j) enddo do j = 1, N <sub>2</sub> call Q(a, i+1, j) enddo enddo  <b>SUBROUTIN Q(f, i, j)</b> real f(n, n) integer i, j  $f(i, j) = f(i, j) + \dots$	<b>SUBROUTINE P</b> real a(n, n) integer i, j  parallel do j = 1, N <sub>2</sub> do i = 1, N <sub>1</sub> call Q(a, i, j) call Q(a, i+1, j) enddo end parallel do  <b>SUBROUTIN Q(f, i, j)</b> real f(n, n) integer i, j  $f(i, j) = f(i, j) + \dots$
----------------------------------------------------------------------------------------------------------------------------------------------------------------------------------------------------------------------------------------------------------------------------------------------------------------------	----------------------------------------------------------------------------------------------------------------------------------------------------------------------------------------------------------------------------------------------------------------------------------------------------

(a) Loop extraction    (b) Fusion, Interchang 후 병렬화

그림 4.3 Loop extraction

을 그림 4.1의 예제 코드에 적용한 후 병렬화를 위해 loop interchange변환 방법을 적용하였다.

변환된 병렬코드는 그림 4.4와 같이 호출 프로시저 *P*는 두개의 피 호출 프로시저 *Q*를 호출하고, 피 호출 프로시저 *Q*는 외부 루프 *j*는 병렬로 수행하고 내부 루프 *i*는 순차적으로 실행한다.

<b>SUBROUTINE P</b> real a(n, n) integer i call Q(a, i) call Q(a, i+1)  <b>SUBROUTIN Q(f, i)</b> real f(n, n) integer i, j do i = 1, N <sub>1</sub> do j = 1, N <sub>2</sub> $f(i, j) = f(i, j) + \dots$ enddo enddo	<b>SUBROUTINE P</b> real a(n, n) integer i call Q(a, i) call Q(a, i+1)  <b>SUBROUTIN Q(f, i)</b> real f(n, n) integer i, j parallel do j = 1, N <sub>2</sub> do i = 1, N <sub>1</sub> $f(i, j) = f(i, j) + \dots$ enddo end parallel do
-------------------------------------------------------------------------------------------------------------------------------------------------------------------------------------------------------------------------------------------------------------	--------------------------------------------------------------------------------------------------------------------------------------------------------------------------------------------------------------------------------------------------------------------------------

(a) Loop embedding    (b) Loop interchang 후 병렬화

그림 4.4 Loop embedding

#### 4.1.4 Procedure cloning변환 방법을 이용한 병렬코드

임의 프로시저가 여러 차례 호출될 때 프로시저를 최적화한 프로시저로 복사하여 많은 프로시저가 호출하게 하는 변환 방법이다. 그림 4.1의 예제 코드를 procedure cloning을 적용한 코드는 그림 4.5와 같이 피 호출 프로시저 *Q*에서 병렬 가능한 문장과 불가능한 문장을 분리하여 병렬 가능한 문장을 *Qclone* 프로시저로 복사한다. 그리고 호출 프로시저 *P*의 병렬 루프 *j* 내부에서 병렬 가능한 문장과 불가능한 문장을 따로 호출하여 병렬성을 증가시킨다.

<b>SUBROUTINE P</b> real a(n, n) integer i, j  parallel do j = 1, N <sub>2</sub> call Qclone(a, i, j) call Q(a, i+1, j) enddo end parallel do  <b>SUBROUTIN Q(f, i, j)</b> real f(n, n) integer i, j  $f(i, j) = f(i, j) + \dots$	<b>SUBROUTIN Qclone(f, i, j)</b> real f(n, n) integer i, j  parallel do i = 1, N <sub>1</sub> $f(i, j) = f(i, j) + \dots$ enddo end parallel do
-----------------------------------------------------------------------------------------------------------------------------------------------------------------------------------------------------------------------------------------------------------------------------	----------------------------------------------------------------------------------------------------------------------------------------------------------------------

그림 4.5 Procedure cloning

#### 4.1.5 성능 분석

프로시저를 포함한 병렬코드의 성능평가는 프로시저를 포함하는 코드에서 기존에 사용하는 예[7]을 사용하여 데이터 수 *N<sub>1</sub>*은 20, *N<sub>2</sub>*는 100개로 하고 프로세서 수를 2, 4, 8, 16, 32개로 증가해 가면서 비교 분석 하였다. 최적화 알고리즘은 자료 종속성 제거 알고리즘을 이용하여 병렬로 코드를 변환 후 자료 종속성이 없을 때까지 병렬로 수행한다. Loop extraction과 loop embedding이 같은 조건일 때, loop embedding을 선택하는 것이 프로시저 호출 오버헤드가 감소된다. Procedure cloning은 순차처리 부분과 병렬처리 부분의 프로시저를 따로 작성 후 병렬화를 최대화시킨다. 성능 평가 결과는 그림 4.6과 같이 자료 종속성 제거 방법을 이용한 최적화 알고리즘이 병렬성이 가장 크고 loop extraction변환 방법을 적용한 병렬 코드가 가장 작았다.

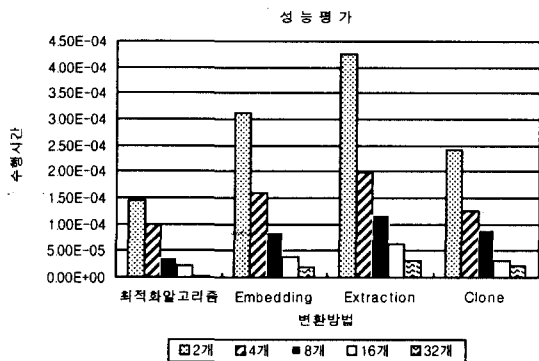


그림 4.6 프로시저를 포함한 병렬 코드의 성능평가

#### 4.2 프로시저를 포함한 코드의 성능 평가

매개 변수 값이 호출 때마다 변하지 않는 그림 4.7의 예제 uniform, nonuniform 그리고 complex 코드를 사용하여 프로시저 간 변환 방법을 비교해 보고, 제안된 알고리즘을 적용하여 병렬 코드로 변환 후 프로세서 증가하면서 성능평가 하였다.

자료 종속 거리가 uniform인 경우에는 하나의 루프 안에서 코드 변환 시 가장 많이 사용한 예를 선택 변형하였다. Nonuniform과 complex는 제시된 예제가 없어서 [16]에서 제시한 예제를 선택 변형하였다.

##### 4.2.1 프로시저간 변환 방법의 성능 평가

프로시저간 변환 방법인 inlining 확장과 loop extraction, loop embedding 변환 방법을 그림 4.7 예제 코드를 사용하여 성능평가 하였다. 그림 4.8은 그림 4.7의 예제 코드(a)의 결과 코드를 보여준다.

Inlining 확장 변환 방법은 프로시저 호출 오버헤드를 제거와 메모리 접근의 수를 줄이고 다른 최적화를 가능하게 한다. 여러 가지 변환 방법 중 간단하고 효율적이기 때문에 가장 많이 사용되고 있다. 그러나 inlining 확장은 전역 지역에 적용하면 목적 코드와 컴파일 시간 증가와 같은 문제가 발생되므로 반복문 내부와 같이 부분 지역에 적당한 변환 방법이다. Loop extraction과 loop embedding이 같은 조건일 때, loop embedding을 선택하는 것이 프로시저 호출 오버헤드가 감소된다. 변환된 코드를 성능 평가한 결과는 그림 4.9와 같이 수행시간 차이가 많아서 이중 차트를 이용하여 표현하였다. 세 가지 방법 모두 inlining 확장 변환 방법이 가장 효율적이었고 loop

```
Procedure P
real a(n1,n2), b(n1,n2), c(n1,n2)
integer i, j
do i = 1, n1
do j = 1, n2
call Q
enddo
enddo

Procedure Q
real a(n1,n2), b(n1,n2), c(n1,n2)
integer i, j
a(i, j-7)=b(i-1, j-3)+c(i-9, j+5)
b(i+2, j+8)=a(i-5, j+4)+c(i+6, j-4)
c(i+1, j-6)=a(i-6, j+3)+b(i-2, j+3)
```

(a) Uniform

```
Procedure P
real a(n1,n2), b(n1,n2), c(n1,n2)
integer i, j
do i = 1, n1
do j = 1, n2
call Q
enddo
enddo

Procedure Q
real a(n1,n2), b(n1,n2), c(n1,n2)
integer i, j
a(4i, 5j)=b(5i, 2j)+c(4i, 6j)
b(6i, 4j)=a(3i, 2j)+b(4i, 3j)+c(5i, 3j)
c(7i, 5j)=a(4i, 3j)+b(5i, 3j)
```

(b) Nonuniform

```
Procedure P
real a(n1,n2), b(n1,n2), c(n1,n2)
integer i, j
do i = 1, n1
do j = 1, n2
call Q
enddo
enddo

Procedure Q
real a(n1,n2), b(n1,n2), c(n1,n2)
integer i, j
a[i-2][j] = b[4*i][3*j];
b[5*i][4*j] = a[3*i+3][j-4] + b[i-4][3*j] + c[3*i][4*j];
c[7*i][5*j] = A[i-5][i-3];
```

(c) Complex

그림 4.7 예제 코드 II

```
Procedure P
real a(n1,n2), b(n1,n2), c(n1,n2)
integer i, j
do i = 1, n1
  do j = 1, n2
    a(i, j-7) = b(i-1, j-3) + c(i-9, j+5)
    b(i+2, j+8) = a(i-5, j+4) + c(i+6, j-4)
    c(i+1, j-6) = a(i-6, j+3) + b(i-2, j+3)
  enddo
enddo
```

(a) Inlining 확장

```
Procedure P
real a(n1,n2), b(n1,n2), c(n1,n2)
integer i, j
do i = 1, n1
  do j = 1, n2
    call Q
  enddo
enddo
```

```
Procedure Q
real a(n1,n2), b(n1,n2), c(n1,n2)
integer i, j
a(i, j-7) = b(i-1, j-3) + c(i-9, j+5)
b(i+2, j+8) = a(i-5, j+4) + c(i+6, j-4)
c(i+1, j-6) = a(i-6, j+3) + b(i-2, j+3)
```

(b) Loop extraction

```
Procedure P
real a(n1,n2), b(n1,n2), c(n1,n2)
call Q
```

```
Procedure Q
real a(n1,n2), b(n1,n2), c(n1,n2)
integer i, j
do i = 1, n1
  do j = 1, n2
    a(i, j-7) = b(i-1, j-3) + c(i-9, j+5)
    b(i+2, j+8) = a(i-5, j+4) + c(i+6, j-4)
    c(i+1, j-6) = a(i-6, j+3) + b(i-2, j+3)
  enddo
enddo
```

(c) Loop embedding

그림 4.8 Uniform형태 코드

extraction을 수행한 코드가 가장 비효율적임을 알 수 있다.

순차 코드 성능 분석의 결과와 같이 프로시저 간 변환 방법 중 inlining 확장 변환 방법이 가장 효율적인 변환방법이므로 본 논문에서도 자료 종속성 제거 방법을 확장하여 inlining 확장 변환 방법을 적용한 프로시저 변환 알고리즘을 제안하였다.

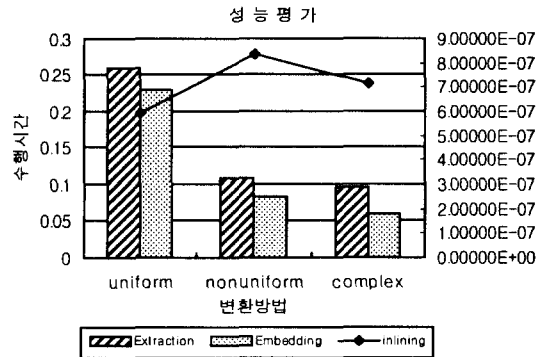


그림 4.9 프로시저간 변환 방법의 성능평가

#### 4.2.2 프로세서 수 증가에 따른 병렬 코드의 성능평가

그림 4.7 예제 코드들을 종속성 제거 방법을 이용한 프로시저 변환 알고리즘을 사용하여 병렬 코드로 변환하였다. 데이터 수는  $N_1$ 은 20,  $N_2$ 는 100으로 하고 프로세서 수는 2, 4, 8, 16, 32개를 사용하여 병렬 코드를 성능평가를 하였다. 프로세서의 수가 증가하면서 성능이 좋아짐을 알 수 있었다. 그리고 프로세서의 수를 증가하면서 성능평가 할 때 데이터 수가 적은 것에 비해 프로세서를 수를 많이 할당받으면 할당받고 작업을 하지 않는 경우가 발생하였다. 예를 들면 불변 종속거리인 경우 프로세서 32개를 할당받았을 때 21개의 프로세서만 사용하고 11개의 프로세서가 휴지상태(idle state)가 발생했다.

프로세서 수를 증가하면서 프로세서 수 증가에 따른 병렬 코드의 성능평가는 불변 종속거리 형태가 가변 종속거리 형태나 혼합 종속거리 형태와 수행 시간 차이가 많이 나므로 그림 4.10과 같이 이중 차트를 이용하여 표현하였다.

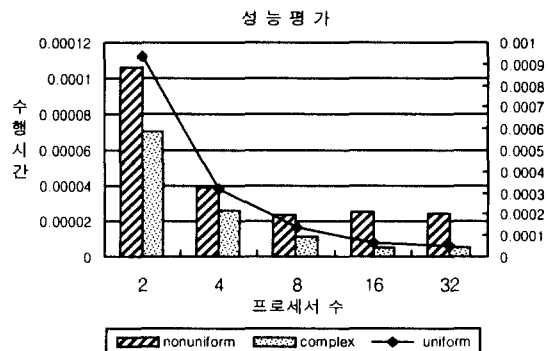


그림 4.10 병렬 코드의 성능 평가

## 5. 결 론

병렬처리에서 루프가 전체 프로그램 실행 시간의 대부분을 차지하기 때문에 하나의 프로시저에서 루프 변환 방법에 대한 기법들이 많이 제안되었다. 그러나 프로시저간이나 루프 내부에 프로시저를 포함하는 코드들에 대한 병렬처리 연구는 많지 않다.

본 논문에서는 프로시저간이나 루프 내부에 프로시저를 포함하는 코드들에 대한 병렬처리를 위한 최적화 알고리즘을 제시하였다. 그리고 프로시저를 병렬처리하기 위하여 프로시저 분석은 프로시저 내 분석과 프로시저 간 분석으로 구분하여 서술하였고, 프로시저 변환도 프로시저 내 변환과 프로시저 간 변환으로 구분하여 서술하였다.

자료 종속성 거리가 nonuniform, complex 형태의 코드에서는 현재 프로시저 호출을 가진 루프에서 사용되는 loop extraction 변환 방법, loop embedding 변환 방법 그리고 procedure cloning 변환 방법과 같은 프로시저 간 변환 방법을 적용해서 병렬화를 찾기 어렵기 때문에 본 논문에서는 uniform 형태의 예제 코드를 사용하여 자료 종속성 제거 방법을 이용한 프로시저 변환 알고리즘과 loop extraction 변환 방법, loop embedding 변환 방법 그리고 procedure cloning 변환 방법과 비교 분석하였다.

매개 변수 값이 호출 때마다 변하지 않는 경우 uniform, nonuniform, complex 코드를 사용하여 프로시저 간 변환 방법을 비교해 보았고, 제안된 알고리즘을 적용하여 병렬 코드로 변환 후 프로세서 증가하면서 성능평가 하였다.

성능평가는 자료 종속성 제거 방법을 이용한 프로시저 변환 알고리즘을 적용한 코드와 loop extraction, loop embedding 그리고 procedure cloning 변환 방법을 적용한 예제 코드가 모두 프로시저 변환 알고리즘을 적용한 코드가 가장 효율적이었고 loop extraction을 수행한 코드가 가장 비효율적임을 알 수 있었다.

자료 종속성 제거 방법을 이용한 프로시저 변환 알고리즘은 전역 지역(global area)에 적용하면 목적 코드와 컴파일 시간 증가와 같은 문제가 발생되므로 반복문 내부와 같이 부분 지역(local area)에 적당한 변환 방법이다.

## 참 고 문 헌

- [ 1 ] Dale Allan Schouten, "An overview of Interprocedural analysis Techniques for High Performance Parallelizing Compilers", MS thesis, University of Illinois at Urbana-Champaign, 1986.
- [ 2 ] D. Callahan, K.D. Cooper, K. Kennedy, and L. Torczon, "Interprocedural constant propagation". Journal of the ACM, P152-161, 1986.
- [ 3 ] K. D. Cooper, M. W. Hall, L. Torczon, "An experiment with inline substitution", Technical Report Tr90-128, Dept. of computer Science, Rice University, 1990.
- [ 4 ] Keith D. Cooper, Ken Kennedy, and Linda Torczon. "Interprocedural constant propagation". Technical Report TR-85-29, Department of Computer Science, Rice University, 1985.
- [ 5 ] V. A. Guarna. "A technique for analyzing pointer and structure references in parallel restructuring compilers". In Proceedings of ICPP 88, volume 2, Penn State Press, August 1988.
- [ 6 ] M. W. Hall, "Managing Interprocedural Optimization" PhD thesis, Dept. of computer Science, Rice University, 1991.
- [ 7 ] M. W. Hall, Ken Kennedy, Kathryn S. McKinley. "Interprocedural Transformations for Parallel Code Generation", Technical Report 1149-s, Dept. of computer Science, Rice University, 1991.
- [ 8 ] C. A. Iluson. "An inline subroutine expander for Paraphrase", Masters Thesis, Dept. of computer Science, University of Illinois, 1982.
- [ 9 ] Z. Li and P. C. Yew, "Efficient interprocedural analysis for program restructuring for parallel programs". In Proceedings of the SIGPLAN : Experience with Applications, Languages and Systems, 1988.
- [10] Z. Li and P. C. Yew, "Interprocedural analysis and program restructuring for parallel

- programs". Technical Report CSRD-720, University of Illinois, Urbana-Champaign, 1988.*
- [11] Kathryn S. McKinley, "A Compiler Optimization Algorithm for Shared-Memory Multiprocessors", IEEE Transactions on Parallel and Distributed Systems. 9(8): 769-787, August, 1998.
- [12] R. W. Scheifler, "An analysis of inline substitution for a structured programming language". Communications of the ACM, 1977.
- [13] M. J. Wolfe. "Optimizing Supercompilers for Supercomputers". PhD thesis, University of Illinois at Urbana-Champaign, 1982.
- [14] M. J. Wolfe. "High Performance Compilers for Parallel Computing". Addison-Wesley Publishing Company, 1995.
- [15] Hans Zima, "Supercompilers for Parallel and Vector computers", ACM press, 1990.
- [16] 송월봉, 박두순, "중첩루프에서 병렬화를 위한 종속성 제거", 한국정보처리학회 논문지, Vol. 5, No. 8, Aug. 1998.



일러

## 장 유 숙

1989년 한밭대학교 전자계산학과  
(학사)  
1992년 한남대학교 컴퓨터공학과  
(석사)  
1996년 ~ 현재 순천향대학교 정보  
기술공학부 박사과정 중  
관심분야 : 병렬 처리, 병렬 컴파



1981년 고려대학교 수학과(이학  
사)  
1983년 충남대학교 전산학과(이  
학석사)  
1988년 고려대학교 전산학전공  
(이학박사)  
1992년 ~ 1993년 미국 U. of Illinois  
at Urbana-Champaign CSRD 객원교수  
2000년 ~ 현재 순천향대학교 컴퓨터교육원 원장  
1985년 ~ 현재 순천향대학교 정보기술공학부 교수  
관심분야 : 병렬처리, 컴파일러, 멀티미디어 정보검색, 가  
용성, 컴퓨터 교육

## 박 두 순